

# 《高等量子力学》第9讲

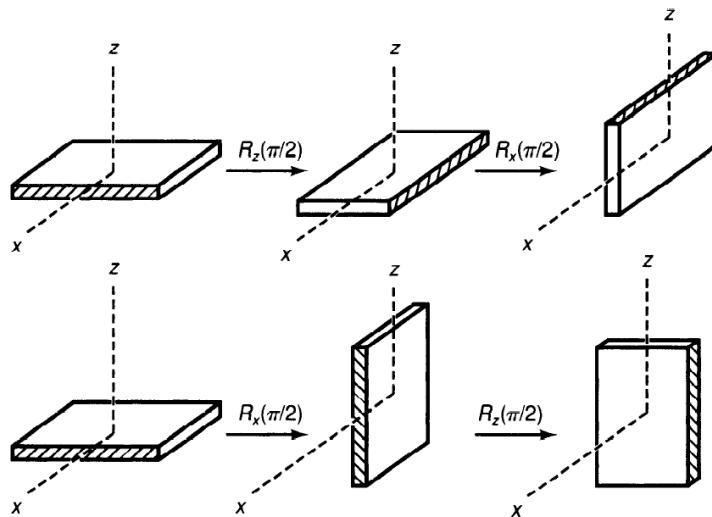
## 第三章：角动量理论

### 1. 旋转与角动量

旋转与角动量在量子力学中具有独特的地位。

#### 1) 经典转动

绕同一轴的两个转动是对易的。例如绕Z轴先转30度再转60度和先转60度再转30度是完全相同的。但是，绕不同轴的两个转动是不对易的。如图所示，先绕Z轴逆时针转动90度再绕X轴转动90度，与先绕X轴转动90度再绕Z轴转动90度的结果不相同。



矢量  $\vec{V} = V_x \vec{e}_x + V_y \vec{e}_y + V_z \vec{e}_z$  绕轴  $\vec{e}_n$  转动后变为  $\vec{V}' = V'_x \vec{e}_x + V'_y \vec{e}_y + V'_z \vec{e}_z$ ，写成矩阵形式为

$$\vec{V}' = R_n(\varphi) \vec{V},$$

$R_n(\varphi)$  是一个  $3 \times 3$  的转动矩阵。显然转动前后矢量的模不改变，

$$|\vec{V}'| = |\vec{V}|.$$

容易得到绕Z轴转动角  $\varphi$  的转动矩阵

$$R_z(\varphi) = \begin{pmatrix} \cos \varphi & -\sin \varphi & 0 \\ \sin \varphi & \cos \varphi & 0 \\ 0 & 0 & 1 \end{pmatrix},$$

对于无限小转动  $\varepsilon$ ,

$$R_z(\varepsilon) = \begin{pmatrix} 1 - \frac{\varepsilon^2}{2} & -\varepsilon & 0 \\ \varepsilon & 1 - \frac{\varepsilon^2}{2} & 0 \\ 0 & 0 & 1 \end{pmatrix},$$

这里已经略去高于  $\varepsilon^2$  的项。类似有

$$R_x(\varepsilon) = \begin{pmatrix} 1 & 0 & 0 \\ 0 & 1 - \frac{\varepsilon^2}{2} & -\varepsilon \\ 0 & \varepsilon & 1 - \frac{\varepsilon^2}{2} \end{pmatrix}, \quad R_y(\varepsilon) = \begin{pmatrix} 1 - \frac{\varepsilon^2}{2} & 0 & \varepsilon \\ 0 & 1 & 0 \\ -\varepsilon & 0 & 1 - \frac{\varepsilon^2}{2} \end{pmatrix}。$$

显然,

$$R_x(\varepsilon)R_y(\varepsilon) - R_y(\varepsilon)R_x(\varepsilon) = \begin{pmatrix} 0 & -\varepsilon^2 & 0 \\ \varepsilon^2 & 0 & 0 \\ 0 & 0 & 0 \end{pmatrix} = R_z(\varepsilon^2) - 1。$$

上式表明：绕X轴和绕Y轴的转动是不对易的。

## 2) 量子转动

对于无限小空间平移算符，其生成元是动量算符，

$$\hat{T}(d\vec{x}) = 1 - \frac{i}{\hbar} \hat{\vec{p}} \cdot d\vec{x} = e^{-\frac{i}{\hbar} \hat{\vec{p}} \cdot d\vec{x}},$$

**空间平移不变意味动量守恒。**对于无限小时间演化算符，生成元是哈密顿算符，

$$\hat{U}(dt) = 1 - \frac{i}{\hbar} \hat{H} dt = e^{-\frac{i}{\hbar} \hat{H} dt},$$

时间平移不变意味能量守恒。

对于任意转动，定义与经典转动相应的量子转动算符为  $\hat{R}_n(\varphi)$ ，

$$|\alpha\rangle_\varphi = \hat{R}_n(\varphi) |\alpha\rangle,$$

它在某个表象的表示是一个矩阵  $R_n(\varphi)$ 。

1) 由经典力学，转动对应的守恒力学量是角动量  $\vec{J}$ ，故假设在量子力学中，角动量  $\hat{J}$  是转动算符  $\hat{R}(\varphi)$  的生产元。对于绕  $\vec{e}_n$  方向的无限小转动，

$$\hat{R}_n(d\varphi) = 1 - \frac{i}{\hbar} \hat{J} \cdot \vec{e}_n d\varphi = e^{-\frac{i}{\hbar} \hat{J} \cdot \vec{e}_n d\varphi}.$$

考虑到绕同一轴的转动是可对易的，有限的转动可以看成是很多无限小转动的叠加，故对于有限的转动  $\varphi$  有

$$\hat{R}_n(\varphi) = e^{-\frac{i}{\hbar} \hat{J} \cdot \vec{e}_n \varphi}.$$

2) 经典力学中绕不同轴的转动是不对易的，假设量子转动满足相同的不对易关系，例如

$$[\hat{R}_x(\varepsilon), \hat{R}_y(\varepsilon)] = \hat{R}_z(\varepsilon^2) - 1,$$

保留到  $\varepsilon^2$  级，有

$$\left[ \left( 1 - \frac{i}{\hbar} \hat{J}_x \varepsilon - \frac{\hat{J}_x^2 \varepsilon^2}{2\hbar^2} \right), \left( 1 - \frac{i}{\hbar} \hat{J}_y \varepsilon - \frac{\hat{J}_y^2 \varepsilon^2}{2\hbar^2} \right) \right] = \left( 1 - \frac{i}{\hbar} \hat{J}_z \varepsilon^2 \right) - 1,$$

即

$$[\hat{J}_x, \hat{J}_y] = i\hbar \hat{J}_z.$$

一般有

$$[\hat{J}_i, \hat{J}_j] = i\hbar \varepsilon_{ijk} \hat{J}_k, \quad \hat{\mathbf{J}} \times \hat{\mathbf{J}} = i\hbar \hat{\mathbf{J}}.$$

这就是量子力学中角动量的基本对易关系。

### 3) 角动量平均值的变化

设绕 Z 轴转动  $\varphi$ ，态的改变，

$$|\alpha\rangle \rightarrow |\alpha\rangle_\varphi = \hat{R}_z(\varphi) |\alpha\rangle = e^{-\frac{i}{\hbar} \hat{J}_z \varphi} |\alpha\rangle,$$

平均值  $\langle \hat{J}_x \rangle$  的改变

$$\langle \hat{J}_x \rangle_0 = \langle \alpha | \hat{J}_x | \alpha \rangle \rightarrow \langle \hat{J}_x \rangle_\varphi = {}_\varphi \langle \alpha | \hat{J}_x | \alpha \rangle_\varphi = \langle \alpha | e^{\frac{i}{\hbar} \hat{J}_z \varphi} \hat{J}_x e^{-\frac{i}{\hbar} \hat{J}_z \varphi} | \alpha \rangle$$

将  $e^{\pm \frac{i}{\hbar} \hat{J}_z \varphi}$  按级数展开，并利用对易关系

$$[\hat{J}_z, \hat{J}_x] = i\hbar \hat{J}_y,$$

有

$$e^{\frac{i}{\hbar} \hat{J}_z \varphi} \hat{J}_x e^{-\frac{i}{\hbar} \hat{J}_z \varphi} = \hat{J}_x \cos \varphi - \hat{J}_y \sin \varphi,$$

故

$$\langle \hat{J}_x \rangle_\varphi = \langle \hat{J}_x \rangle_0 \cos \varphi - \langle \hat{J}_y \rangle_0 \sin \varphi,$$

类似，

$$\langle \hat{J}_y \rangle_\varphi = \langle \hat{J}_y \rangle_0 \cos \varphi + \langle \hat{J}_x \rangle_0 \sin \varphi, \quad \langle \hat{J}_z \rangle_\varphi = \langle \hat{J}_z \rangle_0.$$

写成矢量形式

$$\langle \hat{\mathbf{J}} \rangle_\varphi = R_z(\varphi) \langle \hat{\mathbf{J}} \rangle_0,$$

角动量（矢量）平均值的变化与经典力学中矢量的变化关系相同。

## 2. 自旋角动量

## 1) 转动与时间演化的关系

考虑自旋为  $1/2$  的粒子在外磁场中，设磁场在  $Z$  方向。粒子自身坐标系中的哈密顿算符

$$\hat{H} = \omega \hat{s}_z, \quad \omega = -\frac{eB}{mc},$$

比较时间演化算符

$$\hat{U}(t) = e^{-\frac{i}{\hbar} \hat{H}t} = e^{-\frac{i}{\hbar} \omega \hat{s}_z t}$$

与绕  $Z$  轴的转动算符

$$\hat{R}_z(\varphi) = e^{-\frac{i}{\hbar} \hat{s}_z \varphi},$$

得到转动算符与时间演化算符的对应关系

$$\varphi \Leftrightarrow \omega t,$$

即  $\varphi$  与  $t$  一一对应。由旋转前后的自旋角动量平均值关系

$$\langle \hat{s} \rangle_{\varphi} = R_z(\varphi) \langle \hat{s} \rangle_0 = \begin{pmatrix} \cos \varphi & -\sin \varphi & 0 \\ \sin \varphi & \cos \varphi & 0 \\ 0 & 0 & 1 \end{pmatrix} \langle \hat{s} \rangle_0$$

得到时间演化前后的自旋角动量平均值关系

$$\langle \hat{s} \rangle_t = R_z(\omega t) \langle \hat{s} \rangle_0 = \begin{pmatrix} \cos \omega t & -\sin \omega t & 0 \\ \sin \omega t & \cos \omega t & 0 \\ 0 & 0 & 1 \end{pmatrix} \langle \hat{s} \rangle_0.$$

当取  $t = 2\pi/\omega$  时，有

$$\langle \hat{s} \rangle_t = \langle \hat{s} \rangle_0,$$

故  $t = 2\pi/\omega$  为平均值的周期。

将初始态按  $\hat{S}_z$  的本征态  $|s_z^\pm\rangle$  进行展开,

$$|\alpha\rangle = |s_z^+\rangle\langle s_z^+|\alpha\rangle + |s_z^-\rangle\langle s_z^-|\alpha\rangle,$$

在时间  $t$ ,

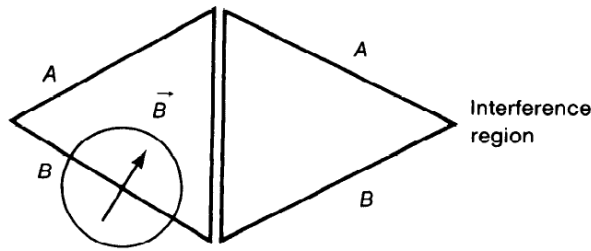
$$|\alpha\rangle_t = e^{-\frac{i}{\hbar}\hat{S}_z\omega t} |\alpha\rangle = e^{-\frac{i}{2}\omega t} |s_z^+\rangle\langle s_z^+|\alpha\rangle + e^{\frac{i}{2}\omega t} |s_z^-\rangle\langle s_z^-|\alpha\rangle,$$

当  $t = 2\pi/\omega$ ,  $|\alpha\rangle_t = -|\alpha\rangle$ , 态不能回到原来! 只有  $t = 4\pi/\omega$  才能回到原来。

**与平均值的时间演化周期  $t = 2\pi/\omega$  不同, 态的时间演化周期是  $t = 4\pi/\omega$ 。**

## 2) 中子干涉实验 (自旋进动的实验验证)

将基态中子分成两束, 分别经路径 A, B 到达干涉区域。在 B 束路径上设置一个 Z 方向磁场  $B$  不等于零的区间, 见图。



B 束中子经过磁场  $B$  产生的附加时间演化算符

$$\hat{U}(t) = e^{-\frac{i}{\hbar}\hat{H}t} = e^{-\frac{i}{\hbar}\omega\hat{S}_z t},$$

经过磁场后的自旋向上或向下的态会有一个额外的相因子  $e^{\mp\frac{i}{2}\omega T}$ , 其中  $T$  是中子经过磁场的的时间 ( $T = l/v_n = lm_n/p_n = lm_n\lambda/\hbar$ )。在干涉区域存在干涉项

$\cos\left(\mp\frac{\omega T}{2} + \delta\right)$ , 其中  $\delta$  是没有磁场时 A, B 两束中子的相位差。

当调控外磁场  $B$  的强度使频率  $\omega$  变化时, 干涉强度会呈现周期性变化。干涉强度变化一个周期的频率变化是  $\frac{\Delta\omega T}{2} = 2\pi$ , 对应磁场的变化是

$\Delta B = \frac{4\pi m_n c}{g_n e T}$ 。实验上证实了这一磁场变化引起的干涉强度变化。

### 3) Pauli 矩阵

定义 Pauli 算符  $\hat{\sigma}$ :  $\hat{s} = \frac{\hbar}{2} \hat{\sigma}$ ,

$\hat{\sigma}_i$  的本征值  $\sigma_i = \pm 1$ ,  $\sigma_i^2 = 1$ ,  $\vec{\sigma}^2 = 3$ 。

由对易关系  $[\hat{\sigma}_i, \hat{\sigma}_j] = 2i \varepsilon_{ijk} \hat{\sigma}_k$ 。

有 
$$\begin{aligned} \hat{\sigma}_x \hat{\sigma}_y + \hat{\sigma}_y \hat{\sigma}_x &= \frac{1}{2i} (\hat{\sigma}_y \hat{\sigma}_z - \hat{\sigma}_z \hat{\sigma}_y) \hat{\sigma}_y + \frac{1}{2i} \hat{\sigma}_y (\hat{\sigma}_y \hat{\sigma}_z - \hat{\sigma}_z \hat{\sigma}_y) \\ &= \frac{1}{2i} (-\hat{\sigma}_z \hat{\sigma}_y^2 + \hat{\sigma}_y^2 \hat{\sigma}_z) = \frac{1}{2i} (-\hat{\sigma}_z + \hat{\sigma}_z) = 0 \end{aligned}$$

即反对易关系  $\{\hat{\sigma}_i, \hat{\sigma}_j\} = 2\delta_{ij}$ 。

在  $\sigma_z$  表象  $\sigma_x = \begin{pmatrix} 0 & 1 \\ 1 & 0 \end{pmatrix}$ ,  $\sigma_y = \begin{pmatrix} 0 & -i \\ i & 0 \end{pmatrix}$ ,  $\sigma_z = \begin{pmatrix} 1 & 0 \\ 0 & -1 \end{pmatrix}$ 。

$\hat{\sigma}_z$  的本征态  $\chi_+ = \begin{pmatrix} 1 \\ 0 \end{pmatrix}$ ,  $\chi_- = \begin{pmatrix} 0 \\ 1 \end{pmatrix}$ ,

由  $\sigma_z$  的完备性条件, 任意自旋态

$$\chi = c_+ \chi_+ + c_- \chi_-。$$

自转动变换算符

$$\hat{R}_n(\varphi) = e^{-\frac{i}{\hbar} \hat{s} \cdot \vec{e}_n \varphi} = e^{-\frac{i}{2} \hat{\sigma} \cdot \vec{e}_n \varphi}$$

的矩阵形式为  $R_n(\varphi) = e^{-\frac{i}{2} \vec{\sigma} \cdot \vec{e}_n \varphi}$ 。

容易证明, 对于任意矢量  $\vec{a}$ ,  $\vec{b}$ , 有

$$(\vec{\sigma} \cdot \vec{a})(\vec{\sigma} \cdot \vec{b}) = \vec{a} \cdot \vec{b} + i \vec{\sigma} \cdot (\vec{a} \times \vec{b}),$$

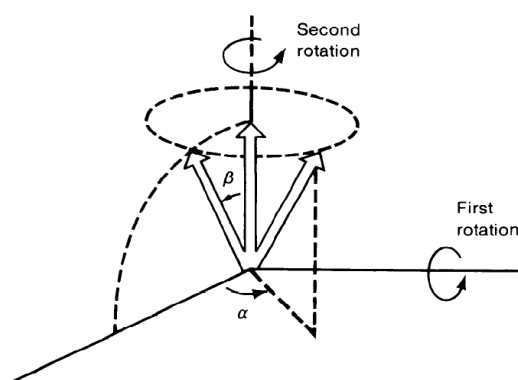
显然

$$(\vec{\sigma} \cdot \vec{a})^2 = \vec{a}^2。$$

$$(\vec{\sigma} \cdot \vec{e}_n)^i = \begin{cases} 1 & \text{for } i \text{ even} \\ \vec{\sigma} \cdot \vec{e}_n & \text{for } i \text{ odd} \end{cases}，$$

$$R_n(\varphi) = \cos \frac{\varphi}{2} - i \vec{\sigma} \cdot \vec{e}_n \sin \frac{\varphi}{2}。$$

例题：任意自旋态可以由  $\hat{S}_z$  的本征态转动生成。



设任意自旋态  $\chi$  的方向是  $\vec{e}_n$ ， $\vec{e}_n$  的方位角是  $\alpha, \beta$ ，见图。 $\chi$  可以看成是  $\hat{S}_z$  的本征态  $\chi_+$  先绕 Y 轴转动  $\beta$ ，再绕 Z 轴转动  $\alpha$  而生成。在  $S_z$  表象

$$\begin{aligned} \chi &= R_z(\alpha)R_y(\beta)\chi_+ = e^{-\frac{i}{2}\sigma_z\alpha} e^{-\frac{i}{2}\sigma_y\beta} \chi_+ \\ &= \left( \cos \frac{\alpha}{2} - i\sigma_z \sin \frac{\alpha}{2} \right) \left( \cos \frac{\beta}{2} - i\sigma_y \sin \frac{\beta}{2} \right) \chi_+ \\ &= \begin{pmatrix} \cos \frac{\alpha}{2} - i \sin \frac{\alpha}{2} & 0 \\ 0 & \cos \frac{\alpha}{2} + i \sin \frac{\alpha}{2} \end{pmatrix} \begin{pmatrix} \cos \frac{\beta}{2} & -\sin \frac{\beta}{2} \\ \sin \frac{\beta}{2} & \cos \frac{\beta}{2} \end{pmatrix} \begin{pmatrix} 1 \\ 0 \end{pmatrix} \\ &= \begin{pmatrix} \cos \frac{\beta}{2} e^{-i\alpha/2} \\ \sin \frac{\beta}{2} e^{i\alpha/2} \end{pmatrix} = \cos \frac{\beta}{2} e^{-i\alpha/2} \begin{pmatrix} 1 \\ 0 \end{pmatrix} + \sin \frac{\beta}{2} e^{i\alpha/2} \begin{pmatrix} 0 \\ 1 \end{pmatrix} \\ &= \cos \frac{\beta}{2} e^{-i\alpha/2} \chi_+ + \sin \frac{\beta}{2} e^{i\alpha/2} \chi_- \end{aligned}$$

#### 4) Euler 转动

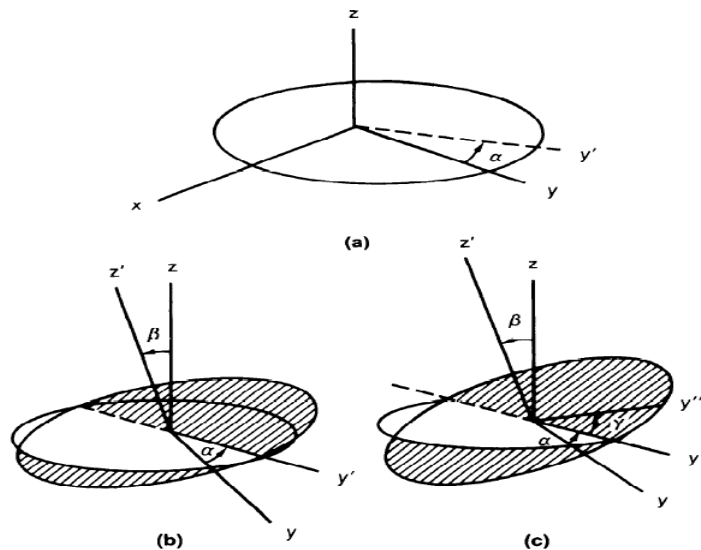
现在讨论将绕任意轴的转动变化为绕 X, Y, Z 轴的转动的乘积。

设有一组固定坐标系(X, Y, Z), 一组随矢量运动的坐标系(X', Y', Z')。由分析力学, 矢量的任意转动可以分解为绕 X, Y, Z 轴的转动的乘积, 即用 3 个 Euler 角来描述。在转动之前, 两组坐标系重合。先逆时针绕 Z 轴转角度  $\alpha$ , 如图 a。这时 Y' 与 Y 不再重合了。然后绕 Y' 轴转角度  $\beta$ , 如图 b。这时 Z' 与 Z 轴也不重合了。最后绕 Z' 轴转角度  $\gamma$ , 如图 c。这时 Y' 轴又改变了方向, 变成 Y''。刚体的任意转动可以表示为

$$R(\alpha, \beta, \gamma) = R_{z'}(\gamma)R_{y'}(\beta)R_z(\alpha)。$$

这 3 次 Euler 转动中, 有两次是绕运动坐标轴 Y', Z' 的。这在转动的计算中很不方便, 因为用角动量生成的转动都是在固定坐标系中进行的。因此, 必须把绕运动坐标轴的转动改写成绕固定坐标轴的转动。可以证明, 上述的 3 次转动等价于在固定坐标系的 3 次转动,

$$R(\alpha, \beta, \gamma) = R_z(\alpha)R_y(\beta)R_z(\gamma)。$$



相应的量子力学转动算符是

$$\hat{R}(\alpha, \beta, \gamma) = \hat{R}_z(\alpha)\hat{R}_{y'}(\beta)\hat{R}_{z'}(\gamma) = e^{-\frac{i}{\hbar}\hat{J}_z\alpha} e^{-\frac{i}{\hbar}\hat{J}_{y'}\beta} e^{-\frac{i}{\hbar}\hat{J}_{z'}\gamma}。$$

自旋空间的任意转动算符在  $S_z$  表象的转动矩阵

$$\begin{aligned}
 R(\alpha, \beta, \gamma) &= e^{-\frac{i}{2}\sigma_z\alpha} e^{-\frac{i}{2}\sigma_y\beta} e^{-\frac{i}{2}\sigma_z\gamma} \\
 &= \left( \cos\frac{\alpha}{2} - i\sigma_z \sin\frac{\alpha}{2} \right) \left( \cos\frac{\beta}{2} - i\sigma_y \sin\frac{\beta}{2} \right) \left( \cos\frac{\gamma}{2} - i\sigma_z \sin\frac{\gamma}{2} \right) \\
 &= \begin{pmatrix} e^{-i\alpha/2} & 0 \\ 0 & e^{i\alpha/2} \end{pmatrix} \begin{pmatrix} \cos(\beta/2) & -\sin(\beta/2) \\ \sin(\beta/2) & \cos(\beta/2) \end{pmatrix} \begin{pmatrix} e^{-i\gamma/2} & 0 \\ 0 & e^{i\gamma/2} \end{pmatrix} \\
 &= \begin{pmatrix} e^{-i(\alpha+\gamma)/2} \cos(\beta/2) & -e^{-i(\alpha-\gamma)/2} \sin(\beta/2) \\ e^{-i(\alpha-\gamma)/2} \sin(\beta/2) & e^{i(\alpha+\gamma)/2} \cos(\beta/2) \end{pmatrix}
 \end{aligned}$$